

Niet-lineaire trillingen

Citation for published version (APA):

Ven, van de, A. A. F. (1964). *Niet-lineaire trillingen*. (DCT rapporten; Vol. 1964.045). Technische Hogeschool Eindhoven.

Document status and date:

Gepubliceerd: 01/01/1964

Document Version:

Uitgevers PDF, ook bekend als Version of Record

Please check the document version of this publication:

- A submitted manuscript is the version of the article upon submission and before peer-review. There can be important differences between the submitted version and the official published version of record. People interested in the research are advised to contact the author for the final version of the publication, or visit the DOI to the publisher's website.
- The final author version and the galley proof are versions of the publication after peer review.
- The final published version features the final layout of the paper including the volume, issue and page numbers.

[Link to publication](#)

General rights

Copyright and moral rights for the publications made accessible in the public portal are retained by the authors and/or other copyright owners and it is a condition of accessing publications that users recognise and abide by the legal requirements associated with these rights.

- Users may download and print one copy of any publication from the public portal for the purpose of private study or research.
- You may not further distribute the material or use it for any profit-making activity or commercial gain
- You may freely distribute the URL identifying the publication in the public portal.

If the publication is distributed under the terms of Article 25fa of the Dutch Copyright Act, indicated by the "Taverne" license above, please follow below link for the End User Agreement:

www.tue.nl/taverne

Take down policy

If you believe that this document breaches copyright please contact us at:

openaccess@tue.nl

providing details and we will investigate your claim.

WE-64/45

Afdeling der Werktuigbouwkunde.

GROEP TECHNISCHE MECHANICA.

NIET-LINEAIRE TRILLINGEN.

door:

AAF v d. VEN.

februari 1964.

Technische Hogeschool. Eindhoven.

INHOUDSOPGAVE.

HI Inleiding

HII Enkele oplossingsmethoden van de Duffing vergelijkingen.

- 2.1 Methode Duffing.
- 2.2. Methode Reinhoudt.
- 2.3. Perturbation Methode.
- 2.4. Methode Rauscher.
- 2.5. Methode Schweissinger.

HIII. Experimenten met een niet-lineair veersysteem en vergelijking met de theoretische waarden.

- 3.1. Inleiding
- 3.2. Het hoofdsysteem.
- 3.3. Het niet-lineaire systeem
- 3.4. Resonantie kromme.
- 3.5. Bepaling van de demping.
- 3.6. Berekening van de ruggegraat.
- 3.7. Berekening van de flanken.

Bijlagen:

Grafiek I: Veer karakteristiek.

Grafiek II: Methode Rauscher.

Grafiek III: Resonantie kromme harde veer.

LITERATUURLIJST.

- Lit1. J.P. den Hartog.
Mechanical Vibrations.
Mc. Graw - Hill 1956.
- Lit2. Richter.
Bauelementen der Feinmechanik. wat is haant
publ.?
- Lit3. J. Stoker
Non-linear Oscillations.
Interscience Publishers. 1950.
- Lit4. Minorski.
Nonlinear Oscillations.
- Lit5. J. Kožešnik.
Dynamics of Machines
Noordhoff 1962.

I.1. Inleiding.

In dit eerste hoofdstuk behandelen we een aantal oplossingen van de Duffingvergelijking. Voor een beter inzicht bekijken we eerst even het probleem dat we willen oplossen.

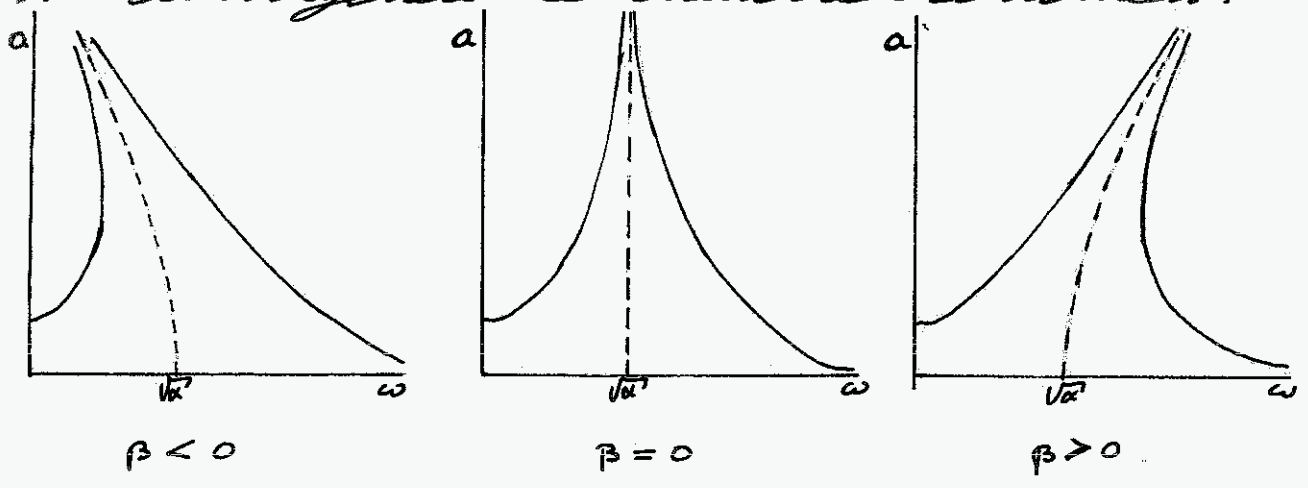
De Duffingvergelijking luidt:

$$\ddot{x} + p\dot{x} + \alpha x + \beta x^3 = F \cos(\omega t + \varphi) \quad (1.1)$$

p en β klein, φ is een constante.

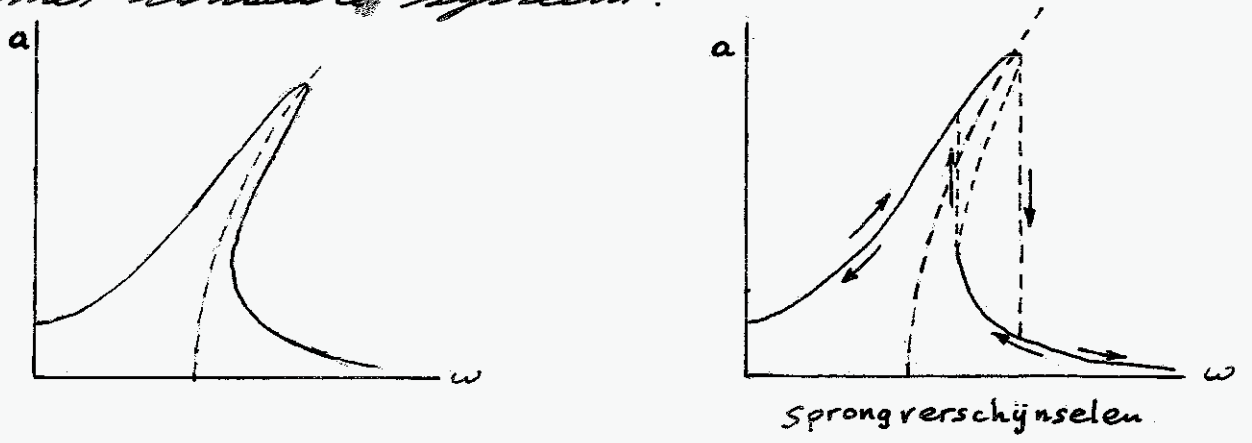
Dit is de bewegingsvergelijking voor gedwongen trillingen van een systeem met één graad van vrijheid en in niet-lineaire veer.

Voor het ongedempte systeem krijgen we de volgende resonantiecurven:



We noemen $\beta < 0$ een zacht systeem en $\beta > 0$ een hard systeem.

Bij een gedempt systeem krijgen we, analoog met lineaire systeem:



Als we deze resonantiecurven doorlopen, zien we zowel bij toenemende als bij afnemende frequentie een sprong optreden. Ik wil deze sprongen ook bij mijn experimenten laten zien.

Hierbo heb ik een niet-lineair veersysteem ontworpen, dat op een triltafel een gedwongen trilling krijgt. We zullen van dit systeem een resonantiecurve opnemen.

Tevens bespreken we de volgende oplossingsmethoden van de Duffing-vergelijking:

1. Duffing (1918): iteratiemethode.
2. Reinholdt (1963): met fictieve kracht.
3. De perturbation-methode (+1883): met onbewilliging rond ^{de} vrije, lineaire oplossing.
4. Prüssner (1938): iteratiemethode uitgaande van de niet-lineaire vrije trilling.
5. Scheeßinger (1950). ✓

Relatie met van de "H" vorm

II. Opllossingsmethoden.

2.1. Methode Duffing.

We gaan uit van:

$$\ddot{x} + p\dot{x} + \alpha x + \beta x^3 = \beta F_0 \cos \omega t. \quad (211)$$

We nemen F klein en schrijven daarom:

$$F = \beta F_0$$

We bekijken eerst het geval dat er geen demping is. Dus $p = 0$.

We kunnen (211) dan schrijven als:

$$\ddot{x} + \omega^2 x = (\omega^2 - \alpha)x - \beta x^3 + \beta F_0 \cos \omega t \quad (212)$$

Als eerste benadering nemen we:

$$x_0 = A \cos \omega t + \cancel{B \sin \omega t} \quad (213)$$

Dit in (212) stoppen, waarbij we gebruik maken van:

$$\cos^3 \omega t = \frac{3}{4} \cos \omega t + \frac{1}{4} \cos 3\omega t \quad (214)$$

krijgen we:

$$\begin{aligned} \ddot{x}_1 + \omega^2 x_1 &= [(\omega^2 - \alpha)A - \frac{3}{4}\beta A^3 + \beta F_0] \cos \omega t - \frac{1}{4}\beta A^3 \cos 3\omega t = \\ &= a \cos \omega t + b \cos 3\omega t \end{aligned} \quad (215)$$

De oplossing hiervan is:

$$x_1 = A_1 \cos \omega t + B_1 \sin \omega t - \frac{a}{2\omega} t \sin \omega t + \frac{\beta A^3}{32\omega^2} \cos 3\omega t \quad (216)$$

Deze oplossing bevat een term met $t \sin \omega t$. Dit zou willen zeggen dat de amplitude van x_1 steeds groter zou worden. Dit gebeurt niet dus moet $a = 0$ zijn. Dus:

$$(\omega^2 - \alpha)A - \frac{3}{4}\beta A^3 + \beta F_0 = 0$$

Dit geeft de belangrijke relatie voor $\omega = \omega(A)$:

$$\omega^2 = \alpha + \frac{3}{4}\beta A^2 - \frac{\beta F_0}{A} \quad (217)$$

Uit de randvoorwaarde $\dot{x}(t=0) = 0$ volgt $B_1 = 0$.

Inv. b.v. (217) wordt (216) dan:

$$x_1(t) = A_1 \cos \omega t + \frac{\beta A^3}{32\omega^2} \cos 3\omega t. \quad (218)$$

De volgende stap is essentieel voor de methode van Duffing. β en F zijn klein. We kunnen de oplossing dus beschouwen als een Fourierontwikkeling om de vrije lineaire trilling.

Als dan A een goede benadering was, mogen A_1 en A niet te veel verschillen. We nemen daarom $A_1 = A$. Dit geeft voor (218):

$$x_1(t) = A \cos \omega t + \frac{\beta A^3}{32 \left(\alpha + \frac{3}{4} \beta A^2 - \frac{\beta F_0}{A} \right)} \cos 3\omega t \quad (219)$$

We moeten er nu op letten dat A niet de amplitude van de trilling is, doch de eerste coëfficiënt van de Fourierontwikkeling. Bij kleine β zal het verschil tussen deze twee echter klein zijn.

We willen nu iets weten over het toepassings-gebied van deze methode. We hebben al eerder gezien dat β en F klein moeten zijn. Dit omdat we uitgaan van de vrije lineaire trilling.

Als we $x_1(t)$ weer in (212) stoppen en deze oplossen vinden we:

$$x_2 = A \cos \omega t + \frac{1}{32} \cdot \frac{\beta A^3 \cos 3\omega t}{\left(\alpha + \frac{3}{4} \beta A^2 - \frac{\beta F_0}{A} \right)} + \dots$$

We kunnen deze vergelijking dimensieloos maken door te delen door een karakteristische lengte: y_0 :

$$\frac{x_2}{y_0} = \frac{A}{y_0} \cos \omega t + \frac{1}{32} \cdot \frac{\frac{\beta}{\alpha} \cdot \frac{A^3}{y_0^3} \cos 3\omega t}{\left(1 + \frac{3}{4} \frac{\beta}{\alpha} A^2 - \frac{\beta}{\alpha} \frac{F_0}{A} \right)} \quad (220)$$

We voeren in:

$$\frac{x_2}{y_0} = \xi_2 ; \quad \frac{A}{y_0} = \eta ; \quad \frac{\beta y_0^2}{\alpha} = \delta ; \quad \frac{F_0}{y_0^3} = \varphi$$

(220) wordt dan:

$$\xi_2 = \eta \cos \omega t + \frac{1}{32} \frac{\delta \eta^3}{\left(1 + \frac{3}{4} \delta \eta^2 - \frac{\delta \varphi}{\eta} \right)} \cos 3\omega t$$

Als we A als amplitude nemen, maken we dus een, procentuele, fout van.

$$\Delta = \frac{\delta \eta^2}{32 \left(1 + \frac{3}{4} \delta \eta^2 - \frac{\delta \varphi}{\eta} \right)} \cdot 100 \% \quad (221)$$

Behalve de δ (β) mag dus ook de η (A) niet te groot worden

We gaan nu verder met $p \neq 0$. Als er demping is, breekt er een faseverschil op tussen x en F . We geven dit aan met de hoek φ :

$$\ddot{x} + p\dot{x} + \alpha x + \beta x^3 = F \cos(\omega t + \varphi) = -F \sin \varphi \sin \omega t + F \cos \varphi \cos \omega t = H \cos \omega t - G \sin \omega t \quad (222)$$

We nemen p , β en F klein

We schrijven (222) als:

$$\ddot{x} + p\dot{x} + \omega^2 x = (\omega^2 - \alpha)x - \beta x^3 + H \cos \omega t - G \sin \omega t \quad (223)$$

$$\text{Stel: } x_0 = A \cos \omega t : \quad (224)$$

$$\ddot{x}_1 + p\dot{x}_1 + \omega x_1 = [(\omega^2 - \alpha)A - \frac{3}{4}\beta A^3 + H] \cos \omega t - \frac{1}{4}\beta A^3 \cos 3\omega t - G \sin \omega t.$$

De homogene oplossing van deze vergelijking dempt uit, en is dus niet interessant.

We stellen als particuliere oplossing:

$$x_1 = A \cos \omega t + B \cos 3\omega t \quad (225)$$

Als we dit in de vergelijking stoppen, vinden we de volgende twee vergelijkingen:

$$(\alpha - \omega^2)A + \frac{3}{4}\beta A^3 = H = F \cos \varphi \quad (226)$$

$$Ap\omega = G = F \sin \varphi \quad (227)$$

Als we resonantie definiëren als $\varphi = \frac{\pi}{2}$ (p is klein), dan vinden we dat de top van de resonantie kromme moet liggen op de hyperbool: $A_{res} = \frac{F}{p} \cdot \frac{1}{\omega} \quad (228)$

We kunnen φ elimineren door (226) en (227) te kwadrateren en op te tellen. Dit geeft:

$$[(\alpha - \omega^2)A + \frac{3}{4}\beta A^3]^2 + p^2 A^2 \omega^2 = H^2 + G^2 = F^2 \quad (229).$$

Voor de coëfficiënt B vinden we de uitdrukking: $B = \frac{1}{32} \frac{\beta A^3}{\omega^2}$

De fout is bij kleine demping dus nagenoeg hetzelfde als bij het ongedempte systeem.

2.2. Methode Reinhoudbt.

We schrijven de differentiaalvergelijking als:

$$\ddot{x} + \rho \dot{x} + \alpha x = -\beta x^3 + F \cos(\omega t + \varphi). \quad (221)$$

ρ en β klein.

We noemen $-\beta x^3$: de stoorterm. Bij kleine uitwijkingen x (kleine A) zal de invloed van de stoorterm klein zijn. Voor het goed verlopen van deze methode is het dus noodzakelijk dat de amplitude niet te groot wordt.

We stellen als eerste benadering:

$$x = x_1 = A \cos \omega t \quad (222)$$

Met deze x_1 geeft de stoorterm een fictieve kracht:

$$-\beta x_1^3 = -\beta A^3 \cos^3 \omega t = -\beta A^3 \left(\frac{3}{4} \cos \omega t + \frac{1}{4} \cos 3\omega t \right) \quad (223)$$

Dit in (221) stoppen geeft:

$$\ddot{x} + \rho \dot{x} + \alpha x = \left[F \cos \varphi - \frac{3}{4} \beta A^3 \right] \cos \omega t + F \sin \varphi \sin \omega t - \frac{1}{4} \beta A^3 \cos 3\omega t - [\beta x^3], \quad (224)$$

Hierin is $-\beta x^3$, een correctie term, welke aangeeft dat we x_1 als oplossing gebruikt hebben.

De (224) bevat de frequentie 3ω . We stellen daarom als volgende oplossing:

$$x = x_1 + x_2 = A \cos \omega t + B \cos(3\omega t + \psi) \quad (225)$$

Omdat $B \ll A$ en we een eerste orde benadering zoeken, kunnen we de termen x_2 in de stoorterm verwaarlozen. Als we nu (225) in (224) stoppen vinden we de volgende vergelijkingen:

$$-A\omega^2 + \alpha A = F \cos \varphi - \frac{3}{4} \beta A^3 \quad (226)$$

$$A\rho\omega = F \sin \varphi \quad (227)$$

Als $\rho = 0$ ($\varphi = 0$) vinden we:

$$\omega^2 = \alpha + \frac{3}{4} \beta A^2 - \frac{F}{A} \quad (228)$$

We zien dat we dezelfde resultaten krijgen als bij de Duffing methode. Dit is niet zo verwonderlijk, aangesien beide methoden nagenoeg gelijk zijn.

We substitueren namelijk bij beiden in de differentiaalverg. de oplossing:

$$x = A \cos \omega t + B \cos 3\omega t$$

en verwaarlozen dan de termen met $\cos 3\omega t$.

We definiëren als resonantie, bij kleine ρ , $\varphi = \frac{\pi}{2}$. Uit (226) vinden we dan, als we $F=0$ nemen, de volgende formule voor de ruggegraat:

$$\alpha_{res} = \sqrt{\frac{-\alpha + \omega_{res}^3}{\frac{3}{4}\beta}} \quad (229)$$

Voor de bepaling van de flanken voeren we een schijnbare veerconstante α_s in:

$$\alpha_s = \left(\alpha + \frac{3}{4}\beta A^2\right) \quad (230)$$

Dus: $\alpha_s = \alpha_s(A)$.

De bewegingsvergelijking wordt dan:

$$\ddot{x} + \rho\dot{x} + \alpha_s x = F \cos(\omega t + \varphi). \quad (231)$$

De procedure gaat nu als volgt:

We kiezen een bepaalde A . Bepalen voor deze A de α_s . We kunnen nu op de elementaire manier de resonantiekromme voor (231) be-rekenen. De punten van deze kromme die overeenkomen met $\bar{x} = A$ zijn dan tevens punten van het niet-lineaire systeem. We kunnen zo punt voor punt van de resonantie kromme bepalen.

2.3. Perturbation methode.

We nemen $\rho = 0$ en F klein: $F = \beta F_0$.

$$\ddot{x} + \alpha x + \beta x^3 = \beta F_0 \cos \omega t \quad (231)$$

We ontwikkelen de uitwijking in:

$$x(t) = x_0(t) + \varepsilon x_1(t) + \varepsilon^2 x_2(t) \quad (232)$$

Hierin is $x(t)$ een periodieke oplossing met dezelfde frequentie als $F \cos \omega t$.

We definiëren $\omega t = \theta$. De differentiaalvergelijking (231) wordt dan:

$$\omega^2 \frac{d^2 x}{d\theta^2} + \alpha x + \beta x^3 = \beta F_0 \cos \omega t. \quad (233)$$

$x(\theta)$ moet voldoen aan:

1° $x(\theta + 2\pi) = x(\theta)$: periodiek.

2° $x(0) = A$.

3° $x'(0) = 0$.

' betekent $\frac{d}{d\theta}$.

Het verschil met de Duffingmethode is dat A hier de maximale waarde van de $x(t)$ aangeeft en niet de eerste Fouriercoëfficiënt.

We nemen voor de parameter ε : β . β is klein. We kunnen de oplossing dus opvatten als een ontwikkeling in de buurt van de vrije lineaire oplossingen. Hiervoor is vereist dat β en F klein zijn en A niet te groot.

We nemen A vast en beschouwen ω als functie van A . Daarom ontwikkelen we ω ook:

$$x(\theta) = x_0(\theta) + \beta x_1(\theta) + \beta^2 x_2(\theta) + \dots \quad (234)$$

$$\omega = \omega_0 + \beta \omega_1 + \beta^2 \omega_2 + \dots \quad (235)$$

De condities worden nu:

1° $x_i(\theta + 2\pi) = x_i(\theta)$

2° $x_0(0) = A$; $x_j(0) = 0$ ($j \neq 0$)

3° $x_0'(0) = 0$; $x_j'(0) = 0$

We gaan (234) en (235) in de differentiaalvergelijking stoppen:

Dit geeft:

$$(\omega_0^2 + 2\beta\omega_0\omega_1 + \dots)(x_0'' + \beta x_1'' + \dots) + \alpha(x_0 + \beta x_1 + \dots) + \beta(x_0^3 + 3x_1 x_0^2 + 2\beta x_1^2 + \dots) = \beta F_0 \cos \theta. \quad (236)$$

We nemen eerst de termen met β tot de macht nul:

$$\omega_0^2 x_0'' + \alpha x_0 = 0 \quad (237)$$

Met als oplossing:

$$x_0(t) = A_0 \cos\left(\frac{\sqrt{\alpha}}{\omega_0} \cdot \theta\right) + B_0 \sin\left(\frac{\sqrt{\alpha}}{\omega_0} \cdot \theta\right) \quad (238)$$

De drie condities worden:

$$\left. \begin{array}{l} 1^\circ \sqrt{\alpha} = \omega_0 \\ 2^\circ A_0 = A \\ 3^\circ B_0 = 0 \end{array} \right\} \therefore \begin{array}{l} x_0 = A \cos \theta \\ \omega_0 = \sqrt{\alpha} \end{array} \quad (239)$$

De termen met de 1^o orde β geven:

$$\omega_0^2 x_1'' + \alpha x_1 = -2\omega_0\omega_1 x_0'' - x_0^3 + F_0 \cos \theta$$

$x_0 = A \cos \theta$ substitueren geeft:

$$\omega_0^2 x_1'' + \alpha x_1 = (2\omega_0\omega_1 A - \frac{3}{4}A^3 + F_0) \cos \theta - \frac{1}{4}A^3 \cos 3\theta \quad (240)$$

Om de periodiciteit te behouden moet weer de coëfficiënt van $\cos \theta$ nul zijn:

$$2\omega_0\omega_1 A - \frac{3}{4}A^3 + F_0 = 0$$

$$\therefore \omega_1 = \frac{1}{2\sqrt{\alpha}} \left(\frac{3}{4}A^3 - \frac{F_0}{A} \right) \quad (241)$$

(240) wordt dan:

$$\omega_0^2 x_1'' + \alpha x_1 = -\frac{1}{4}A^3 \cos 3\theta$$

De oplossing hiervan is:

$$\begin{aligned} x_1 &= A_1 \cos\left(\frac{\sqrt{\alpha}}{\omega_0} \cdot \theta\right) + B_1 \sin\left(\frac{\sqrt{\alpha}}{\omega_0} \cdot \theta\right) - \frac{A^3}{4(\alpha - 9\omega_0^2)} \cos 3\theta = \\ &= A_1 \cos \theta + B_1 \sin \theta + \frac{A^3}{32\alpha} \cos 3\theta \end{aligned} \quad (242)$$

De randvoorwaarden geven:

$$A_1 = -\frac{A^3}{32\alpha} \quad \text{en} \quad B_1 = 0$$

Als we $\beta^2 = 0$ nemen krijgen we dus de volgende oplossingen:

$$x = A \cos \theta + \frac{\beta A^3}{32\alpha} (-\cos \theta + \cos 3\theta) \quad (243)$$

$$\omega = \sqrt{\alpha} + \frac{\beta}{2\sqrt{\alpha}} \left(\frac{3}{4}A^3 - \frac{F_0}{A} \right)$$

We willen nu iets weten over de fout in de relatie $\omega = \omega(A)$.

De termen met β^2 geven:

$$(\omega_1^2 + 2\omega_0\omega_2)x_0'' + 2\omega_0\omega_1x_1'' + \omega_0^2x_2'' + \alpha x_2 + 3x_0^2x_1 = 0$$

$$\omega_0^2x_2'' + \alpha x_2 = -(\omega_1^2 + 2\omega_0\omega_1)x_0'' - 2\omega_0\omega_1x_1'' - 3x_0^2x_1 \quad (244)$$

De factor voor $\cos(\theta)$ in (244) nul stellen:

$$\omega_2 = -\frac{\omega_1^2}{2\omega_0} + \frac{\omega_1 A^2}{32\alpha} - \frac{1}{128} \cdot \frac{A^4}{\omega_0 \alpha}$$

$$\therefore \delta = \frac{\beta^2 \omega_2}{\omega_0} = \frac{\beta^2 n_2}{n_0} = -\frac{(\beta \omega_1)^2}{2\omega_0^2} + \frac{\beta \omega_1}{\omega_0} \cdot \frac{\beta A^2}{32\alpha} - \frac{1}{128} \cdot \left(\frac{\beta A^2}{\alpha}\right)^2 \quad (245)$$

$$\text{met: } \left. \begin{aligned} \omega_0 &= \sqrt{\alpha} \\ \omega_1 &= \frac{1}{2\sqrt{\alpha}} \left(\frac{3}{4} A^2 - \frac{F_0}{A} \right) \\ F_0 &= \alpha \cdot y_0 / \beta \end{aligned} \right\} \therefore \frac{\beta \omega_1}{\omega_0} = \frac{1}{2} \left(\frac{3}{4} \frac{\beta A^2}{\alpha} - \frac{y_0}{A} \right)$$

Als we $A \gg y_0$ nemen:

$$\frac{\beta \omega_1}{\omega_0} = \frac{3}{8} \cdot \frac{\beta A^2}{\alpha} = \frac{3}{8} \gamma \quad \text{met } \gamma = \frac{\beta A^2}{\alpha} \quad (246)$$

(246) substitueren in (245) geeft:

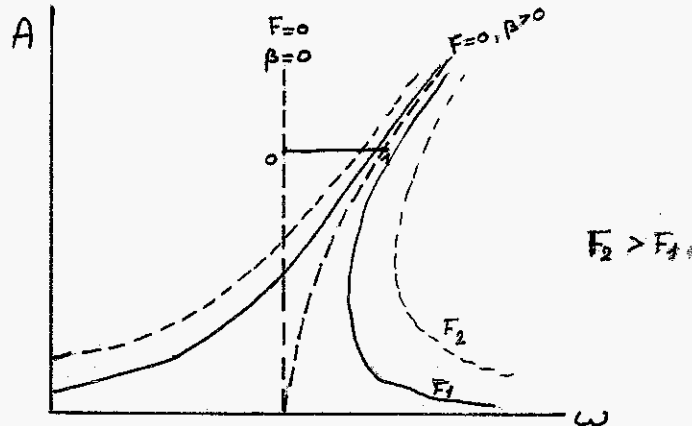
$$\delta = \frac{\beta^2 n_2}{n_0} = -\frac{9}{128} \gamma^2 + \frac{3}{256} \gamma^2 - \frac{1}{128} \gamma^2 = \frac{17}{256} \gamma^2$$

$$\text{Dus: } \underline{\delta = 6,46 \times \left(\frac{\beta A^2}{\alpha}\right)^2 \%} \quad (247)$$

De methode gaat dus goed bij kleine β en A .

2.4. Methode Rauscher.

De methode Rauscher is een iteratiemethode die, in tegenstelling tot de vorige methodes, uitgaat van een schatting van de vrije, niet-lineaire trilling, i.p.v. uit te gaan van de lineaire trilling.



We gaan bij deze methode dus uit van het punt 1, en Duffing van het punt 0. Het feit dat we reeds met een niet-lineaire schatting beginnen, brengt met zich mede dat we geen kleine β meer hoeven te eisen. Wel gaat het iteratieproces sneller bij kleinere F . De beginschatting is dan beter.

We definiëren $\theta = \omega t$, en schrijven de differentiaalvergelijking als:

$$\omega^2 \frac{d^2 x}{d\theta^2} + f(x) = P \cos \theta \quad (241)$$

We bekijken het veel voorkomende geval dat $f(x)$ oneven is:

$$-f(x) = f(-x) \quad (242)$$

Er gelden de volgende condities:

$$x(\theta + 2\pi) = x(\theta)$$

$$x(0) = A$$

$$x'(0) = 0$$

A is dus de maximale uitwijking. We zoeken weer naar $\omega = \omega(A)$.

We nemen als eerste benadering: $P=0$

$$\omega_0^2 \cdot \frac{d^2 x}{d\theta^2} + f(x) = 0 \quad (243)$$

We noemen: $F(x) = \int_0^x f(x) dx \quad (244)$

We lossen (243) exact als volgt op:

Stel: $\frac{dx}{d\theta} = v$ dan: $\frac{d^2 x}{d\theta^2} = \frac{d}{d\theta} \cdot v = \frac{dv}{dx} \frac{dx}{d\theta} = v \frac{dv}{dx}$

Dus (243) wordt:

$$v \omega_0^2 \frac{dv}{dx} + f(x) = 0$$

Integreren van A tot x geeft:

$$\frac{1}{2} \omega_0^2 v_x^2 = - \int_A^x f(x) dx = - [F(x) - F(A)] \quad (v_A = 0)$$

$$\therefore \frac{dx}{d\theta} = v_x = \frac{1}{\omega_0} \sqrt{2[F(A) - F(x)]}$$

$$d\theta = \frac{\omega_0}{\sqrt{2[F(A) - F(x)]}} dx$$

Nog een keer integreren:

$$\theta_0(x) = \omega_0 \int_A^x \frac{dx}{\sqrt{2[F(A) - F(x)]}} \quad (245)$$

Door x van 0 tot A te lopen, vinden we uit (245):

$$\frac{1}{\omega_0} = \frac{2}{\pi} \int_0^A \frac{dx}{\sqrt{2[F(A) - F(x)]}} \quad (246)$$

Deze formule is de exacte formule voor de ruggegraat en de eerste benadering voor de flanken.

Als we $\theta_0(x)$ en ω_0 gevonden hebben gaan we verder met:

$$\omega_1^2 \frac{d^2 x}{d\theta^2} + f(x) - P \cos \theta_0(x) = 0 \quad (247)$$

We zien dus dat we snelle convergentie krijgen als P klein is.

Het nadeel van deze methode is het vele rekenwerk dat vereist is. We kunnen het nog het beste grafisch oplossen. We zullen dit beproeven op: $f(x) = \alpha x + \beta x^3$

$$\text{Dan is: } F(x) = \frac{1}{2} \alpha x^2 + \frac{1}{4} \beta x^4$$

(246) wordt dan:

$$\frac{1}{\omega_0} = \frac{2}{\pi} \int_0^A \frac{dx}{\sqrt{\alpha(A^2 - x^2) + \frac{1}{2} \beta(A^4 - x^4)}} = \frac{2}{\pi} \int_0^1 \frac{d\left(\frac{x}{A}\right)}{\sqrt{\alpha' \sqrt{\left(1 - \left(\frac{x}{A}\right)^2\right) + \frac{1}{2} \frac{\beta A^2}{\alpha} \left(1 - \left(\frac{x}{A}\right)^4\right)}}$$

$$\text{Noem: } \frac{x}{A} = \xi, \quad \frac{\omega_0}{\sqrt{\alpha'}} = \nu_0, \quad \frac{\beta A^2}{\alpha} = \gamma(A)$$

We krijgen dan de dimensieloze uitdrukking:

$$\frac{1}{\nu_0} = \frac{2}{\pi} \int_0^1 \frac{d\xi}{\sqrt{\left(1 - \xi^2\right) + \frac{1}{2} \gamma \left(1 - \xi^4\right)}} = \frac{2}{\pi} \int_0^1 h(\xi) d\xi \quad (248)$$

$$\text{met: } h(\xi) = \frac{1}{\sqrt{\left(1 - \xi^2\right) + \frac{1}{2} \gamma \left(1 - \xi^4\right)}}$$

$$\text{N.B.: } \beta = 0 \Rightarrow \gamma = 0 \text{ dan } \nu_0 = 1 \Rightarrow \omega_0 = \sqrt{\alpha'}$$

We zullen nu $f(\xi)$ voor verschillend γ , dus A , in grafiek.

We hebben dit verderop in het verslag uitgewerkt voor $\frac{\alpha}{\beta} = 3 \text{ cm}^2$.

Uit de grafiek $f(\xi)$ bepalen we door planimeteeren de ν_0 bij bepaalde $\gamma(A)$.

Bij deze zelfde A bepalen we dan ook uit deze grafiek θ_0 . Hiertoe schrijven we deze als:

$$\theta_0 = \nu_0 \int_0^{\xi} h(\xi) d\xi. \quad (249)$$

We doen dit voor verschillende ξ . Voor deze waarden van ξ bepalen we tevens: $\cos(\theta_0(\xi))$

Door (247) te delen door αA krijgen we:

$$\nu_0^2 \frac{d^2 \xi}{d\theta^2} + f(\xi) - \frac{F}{\alpha A} \cos(\theta_0(\xi)) = 0 \quad (250)$$

$$\text{met } P(\xi) = \frac{1}{\alpha A} f(x) = \xi + \gamma \xi^3.$$

$$\text{We noemen: } f(\xi) - \frac{F}{\alpha A} \cos(\theta_0(\xi)) = g(\xi)$$

$$\text{en } G(\xi) = \int_0^{\xi} g(\xi) d\xi.$$

Op analoge manier als de eerste keer krijgen we dan:

$$O_1(\xi) = v_1 \int_1^{\xi} \frac{d\xi}{\sqrt{2[G(1) - G(\xi)]}} \quad (251)$$

$$\frac{1}{v_1} = \frac{2}{\pi} \int_0^1 \frac{d\xi}{\sqrt{2[G(1) - G(\xi)]}} \quad (252)$$

De methode die ^{we} volgen gaat nu als volgt:

We zetten $g(\xi)$ in grafiek en bepalen hieruit voor enkele waarden van ξ : $G(\xi)$ (ook voor $\xi=1$). Voor deze ξ 's kunnen we uitrekenen:

$$k(\xi) = \frac{1}{\sqrt{2[G(1) - G(\xi)]}}$$

Dere zetten we weer in grafiek en bepalen dan $O_1(\xi)$ en $v_1(\xi)$. Als we na deze stap stoppen, wat dikwijls al voldoende is, bepalen we alleen v_1 .

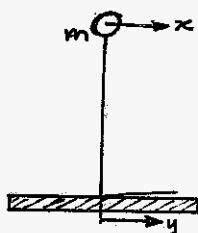
We hebben dan de w die hoort bij de A , waarvan we zijn uitgegaan. We doen dit hele verhaal dan nog een paar keer voor andere A 's. Op deze manier vinden we dan w als functie van A .

Bij de eerste stap (w_0 en O_0) maakt het geen verschil of A positief of negatief is. Bij de tweede stap, en dan met name in de $g(\xi)$, echter wel. We moeten dere tweede stap dus met het dubbele aantal A 's doen. Dere methode geeft dus nogal veel werk.

Voordelen zijn:

1. Ook bruikbaar bij grotere β .
2. Snelle convergentie bij kleine P .

2.5 Methode Schweissinger.



We definiëren: $\psi(x) = \alpha x + \beta x^3$
 De bewegingsvergelijking voor me-
 venstaand systeem luidt dan:

$$\ddot{x} + \psi(x-y) = 0 \quad (251)$$

$$\text{Stel: } y = y_0 \sin(\omega t + \varphi) =$$

$$= y_0 \cos \varphi \sin \omega t + y_0 \sin \varphi \cos \omega t =$$

$$= G_1 \sin \omega t + G_2 \cos \omega t.$$

$$\therefore y_0^2 = G_1^2 + G_2^2 \quad \text{en} \quad \frac{G_2}{G_1} = \tan \varphi$$

We schatten de volgende periodieke oplossing:

$$\Delta x = (y-x) = A \sin \omega t \quad (252)$$

(251) wordt dan:

$$\Delta \ddot{x} + \psi(\Delta x) = \ddot{y} \quad (253)$$

en na substitutie van (252):

$$-\omega^2 A \sin \omega t + \psi(A \sin \omega t) = -\omega^2 G_1 \sin \omega t - \omega^2 G_2 \cos \omega t + \varepsilon \quad (254)$$

Hierin is ε een correctieterm die de
 grootte van de fout in de schatting aan-
 geeft. Hoe kleiner $|\varepsilon|$ des te beter is de
 benadering: $\Delta x = A \sin \omega t$. We gaan dus roe-
 len voor welke waarden van G_1 en G_2 de $|\varepsilon|$
 minimaal is.

Dit is zo indien onderstaande integraal
 minimaal is:

$$J = \frac{1}{2\pi} \int_0^{2\pi} [-A\omega^2 \sin \theta + \psi(A \sin \theta) + \omega^2 G_1 \sin \theta + \omega^2 G_2 \cos \theta]^2 d\theta.$$

We willen dus ε^2 genomen over één periode
 minimaal hebben. Dit geeft:

$$\frac{\partial J}{\partial G_1} = \frac{1}{2\pi} \int_0^{2\pi} [-A\omega^2 \sin \theta + \psi(A \sin \theta) + \omega^2 G_1 \sin \theta + \omega^2 G_2 \cos \theta] \sin \theta d\theta \quad (255)$$

$$\frac{\partial J}{\partial G_2} = \frac{1}{2\pi} \int_0^{2\pi} [-A\omega^2 \sin \theta + \psi(A \sin \theta) + \omega^2 G_1 \sin \theta + \omega^2 G_2 \cos \theta] \cos \theta d\theta \quad (256)$$

(256) geeft:

$$\int_0^{2\pi} G_2 \cos^2 \theta d\theta = 0 \Rightarrow G_2 = 0$$

$$\therefore G_1 = 0$$

(255) wordt: $\left(\int_0^{2\pi} \sin^2 \theta d\theta = \pi\right)$
 $-\pi A \omega^2 + \int_0^{2\pi} \psi(A \sin \theta) d\theta + \pi \omega^2 G_1 = 0$
 $\therefore G_1 = A - \frac{1}{\pi \omega^2} \int_0^{2\pi} \psi(A \sin \theta) d\theta$ (257)
 $\int_0^{2\pi} \psi(A \sin \theta) \sin \theta d\theta = \int_0^{2\pi} [\alpha A \sin^2 \theta + \beta A^3 \sin^4 \theta] d\theta =$
 $= \pi \left(\alpha A + \frac{3}{4} \beta A^3\right)$

Dus (257) wordt:

$$G_1 = A - \frac{1}{\omega^2} \left(\alpha A + \frac{3}{4} \beta A^3\right) \quad (258)$$

$$G_2 = 0 \Rightarrow G_1 = y_0$$

Mit (258) vinden we de volgende relatie voor ω :

$$\omega^2 = \frac{\alpha A + \frac{3}{4} \beta A^3}{A - y_0} = \alpha \cdot \frac{\frac{A}{y_0} + \frac{3}{4} \frac{\beta y_0^2}{\alpha} \cdot \left(\frac{A}{y_0}\right)^3}{\frac{A}{y_0} - 1}$$

Noem: $\frac{A}{y_0} = \eta$; $\frac{\beta y_0^2}{\alpha} = \delta$; $\omega = 2\pi n$; $\alpha = \omega_0^2 = (2\pi n_0)^2$

We krijgen dan de volgende dimensionele uitdrukking:

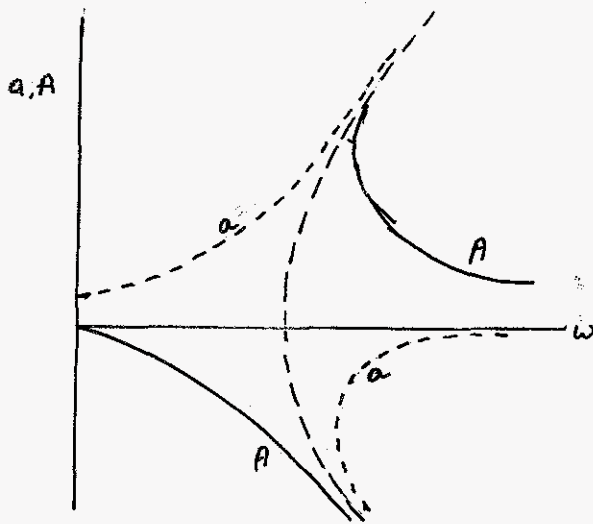
$$\left(\frac{\eta}{n_0}\right)^2 = \frac{\eta + \frac{3}{4} \delta \eta^3}{\eta - 1} \quad (259)$$

De minimale waarde van ϵ , als G_1 en G_2 voldoen aan (258) is:

$$\begin{aligned} \epsilon_{\min} &= -\omega^2 A \sin \omega t + \psi(A \sin \omega t) + \omega^2 G_1 \sin \omega t + \omega^2 G_2 \cos \omega t = \\ &= \left[-\omega^2 A + \alpha A + \omega^2 A - \alpha A + \frac{3}{4} \beta A^3 - \frac{3}{4} \beta A^3\right] \sin \omega t + \frac{1}{4} \beta A^3 \sin 3\omega t = \\ &= \frac{1}{4} \beta A^3 \sin 3\omega t \end{aligned}$$

Deze methode gaat dus goed voor kleine β en A .
 Als we als criterium nemen dat $\epsilon \ll \alpha A$ geldt:
 $\frac{1}{4} \frac{\beta A^3}{\alpha} \ll 1$.

Let op: de in relatie (258) voorkomende A is niet de amplitude van x maar van Δx .



als a de amplitude van x is gekocht:

$$a = -(A - y_0)$$

Relatie (258):

$$\omega^2 = \frac{\alpha A + \frac{3}{4} \beta A^3}{A - y_0} \quad (258)$$

wordt dan:

$$\omega^2 = \frac{\alpha(-a + y_0) + \frac{3}{4} \beta(-a + y_0)^3}{-a}$$

We nemen y_0 klein ($y_0^2 \ll y_0$) en $\alpha y_0 = F$:

$$\omega^2 = \alpha + \frac{3}{4} \beta a^2 - \frac{F}{a} \quad (260)$$

Dit is hetzelfde resultaat als we verkrijgen bij de Duffing-methode.

We kunnen deze twee methoden als volgt met elkaar vergelijken:

Duffing

$$\Delta \ddot{x} + \omega^2 \Delta x = \omega^2 \Delta x - \psi(\Delta x) + \ddot{y}$$

$$\Delta x_0 = A \cos \omega t$$

$$\Delta \ddot{x}_1 + \omega^2 \Delta x_1 =$$

$$\begin{aligned} &= \omega^2 A \cos \omega t - \psi(A \cos \omega t) + \ddot{y} = \\ &= (\omega^2 A - \alpha A - \frac{3}{4} \beta A^3) \cos \omega t - \frac{1}{4} A^3 \cos 3\omega t + \\ &\quad - \omega^2 y_0 \cos \omega t \end{aligned}$$

Verwille van de periodiciteit van de oplossing eisen we:

$$\omega^2 A - \alpha A - \frac{3}{4} \beta A^3 - \omega^2 y_0 = 0$$

Schweissingen.

$$\Delta \ddot{x} + \psi(\Delta x) = \ddot{y}$$

$$\Delta x_0 = A \cos \omega t$$

$$-\omega^2 A \cos \omega t + \psi(A \cos \omega t) =$$

$$= -\omega^2 y_0 \cos \omega t + \varepsilon$$

$$\therefore \varepsilon = (\omega^2 y_0 - \omega^2 A + \alpha A + \frac{3}{4} \beta A^3) \cos \omega t + \frac{1}{4} \beta A^3 \cos 3\omega t.$$

ε minimaliseren, geeft:

$$\varepsilon_{\min} = \frac{1}{4} \beta A^3 \cos 3\omega t.$$

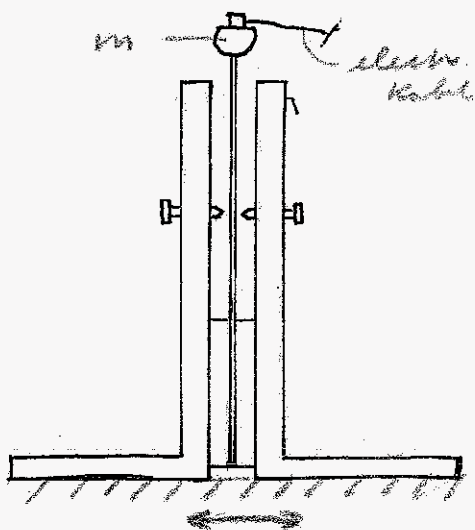
Dit is dus verlopen door:

$$\omega^2 y_0 - \omega^2 A + \alpha A + \frac{3}{4} \beta A^3 = 0$$

III Experimenten.

3.1. Inleiding.

We doen onze metingen aan een systeem zoals getekend in onderstaande figuur:



Het systeem bestaat uit een bladveer waaraan een massa m is bevestigd. De massa wordt in trilling gebracht door een trillingsapparaat, waarop het stelsel is bevestigd.

De niet-lineariteit wordt verkregen doordat de veer bij een bepaalde uitslag van de massa stoot tegen twee bouten, waardoor de stijfheid plotseling groter wordt. We benaderen deze niet-lineariteit door een functie $f(x) = cx + \beta x^3$, welke in het door ons gebruikte gebied het beste met de stijfheidskarakteristiek overeenkomt.

We doen de volgende experimenten:

- 1° Het meten van de resonantiecurve plus het aantonen van de sprongen.
- 2° Het meten van de demping en vergelijken met de p berekend uit de resonantiecurve.
- 3° Het berekenen van de ruggegraat en vergelijken met de gemeten waarde.

3.2. Het hoofdsysteem.

Te bewijzen

We gaan eerst kijken naar het lineaire hoofdsysteem. Dit bestaat uit een bladveer met een massa.



Voor de stijfheid van deze bladveer geldt:

$$c = \frac{P}{f} = \frac{Ebh^3}{4l^3} = \frac{3EI}{l^3}$$

We nemen een bladveer met de volgende eigenschappen:

$$E = 2 \times 10^6 \text{ [kgf/cm}^2\text{]}; \quad l = 17,5 \text{ [cm]}; \quad b = 2 \text{ [cm]}; \quad h = 0,2 \text{ [cm]}$$

Dan geldt:

$$c = 1,5 \text{ [kgf/cm]}.$$

We nemen een massa van:

$$m = 0,105 \times 10^{-3} \text{ [kgf sec}^2\text{/cm]}$$

We vinden dan voor de eigenfrequentie:

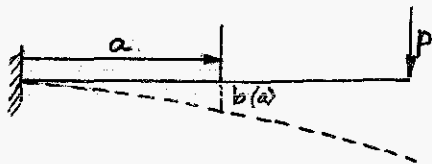
$$n_0 = \frac{\omega_0}{2\pi} = \frac{1}{2\pi} \sqrt{\frac{c}{m}} = 19 \text{ [Hz]}.$$

De bewegingsvergelijking luidt, als we voor de beweging van de trilltafel: $y = y_0 \cos \omega t$ schrijven:

$$m\ddot{x} + c(x - y) = 0 \quad (331)$$

Dit geeft voor de amplitude van de massa:

$$\bar{x} = \frac{cy_0}{c - m\omega^2} \quad (332).$$



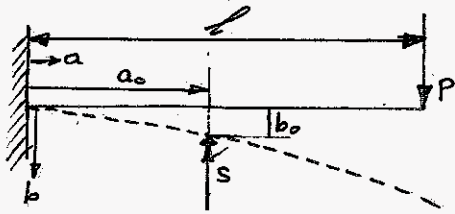
Voor de raking b spr. a geldt:

$$b(a) = \frac{Pa^2}{6EI} [3l - a]$$

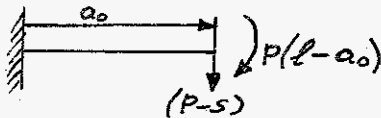
$$c = \frac{3EI}{l^3} \text{ en } \frac{a}{l} = \xi \text{ geeft:}$$

$$b(\xi) = \frac{P}{c} \xi^2 \left(\frac{3}{2} - \frac{1}{2} \xi \right) \quad (333)$$

3.3. Het niet-lineaire systeem.



We brengen een extra steunpunt aan in (a_0, b_0) . Dit geeft een extra kracht s die we bepalen uit:

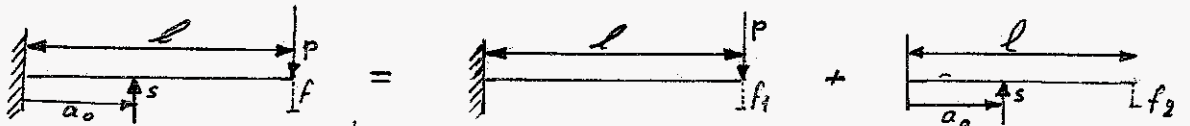


$$b_0 = \frac{(P-s)a_0^3}{3EI} + \frac{P(l-a_0)a_0^2}{2EI}$$

Noem: $\xi = \frac{a}{l}$ en $\xi_0 = \frac{a_0}{l}$:

$$s = -c b_0 \xi_0^{-3} + P \xi_0^{-1} \left(\frac{3}{2} - \frac{1}{2} \xi_0 \right) \quad (331)$$

Voor de raking f spr. $a = l$ vinden we:



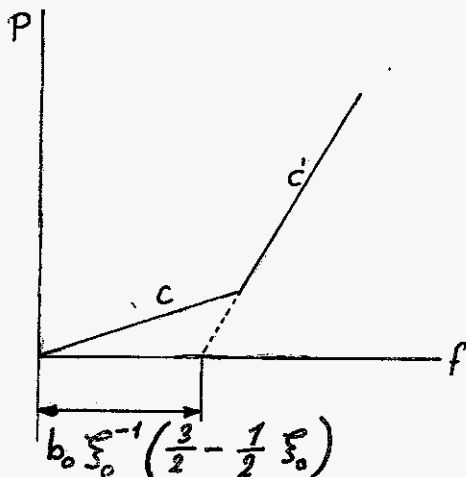
$$f = f_1 + f_2$$

$$f_1 = \frac{P l^3}{3EI} = \frac{P}{c}$$

$$\text{en } f_2 = \frac{s a_0^3}{3EI} + \frac{3 a_0^2}{2EI} l = + \frac{s}{c} \xi_0^2 \left\{ + \frac{1}{2} \xi_0 - \frac{3}{2} \right\}$$

(331) substitueren geeft:

$$f = -b_0 \xi_0^{-1} \left(\frac{1}{2} \xi_0 - \frac{3}{2} \right) + \frac{P}{c} \left(1 - \frac{9}{4} \xi_0 + \frac{3}{2} \xi_0^2 - \frac{1}{4} \xi_0^3 \right) \quad (332)$$



$$c' = \frac{c}{1 - \frac{9}{4} \xi_0 + \frac{3}{2} \xi_0^2 - \frac{1}{4} \xi_0^3}$$

We nemen het steunpunt in:

$$a_0 = 6,5 \text{ cm en } b_0 = 0,15 \text{ cm.}$$

$$\text{Dan is: } \xi_0 = \frac{6,5}{17,5} = 0,372$$

We vinden dan voor de ralling:

$$f = 0,53 + \frac{P}{4,18} \quad (333)$$

We benaderen deze door de 3^o graads-
bromme:

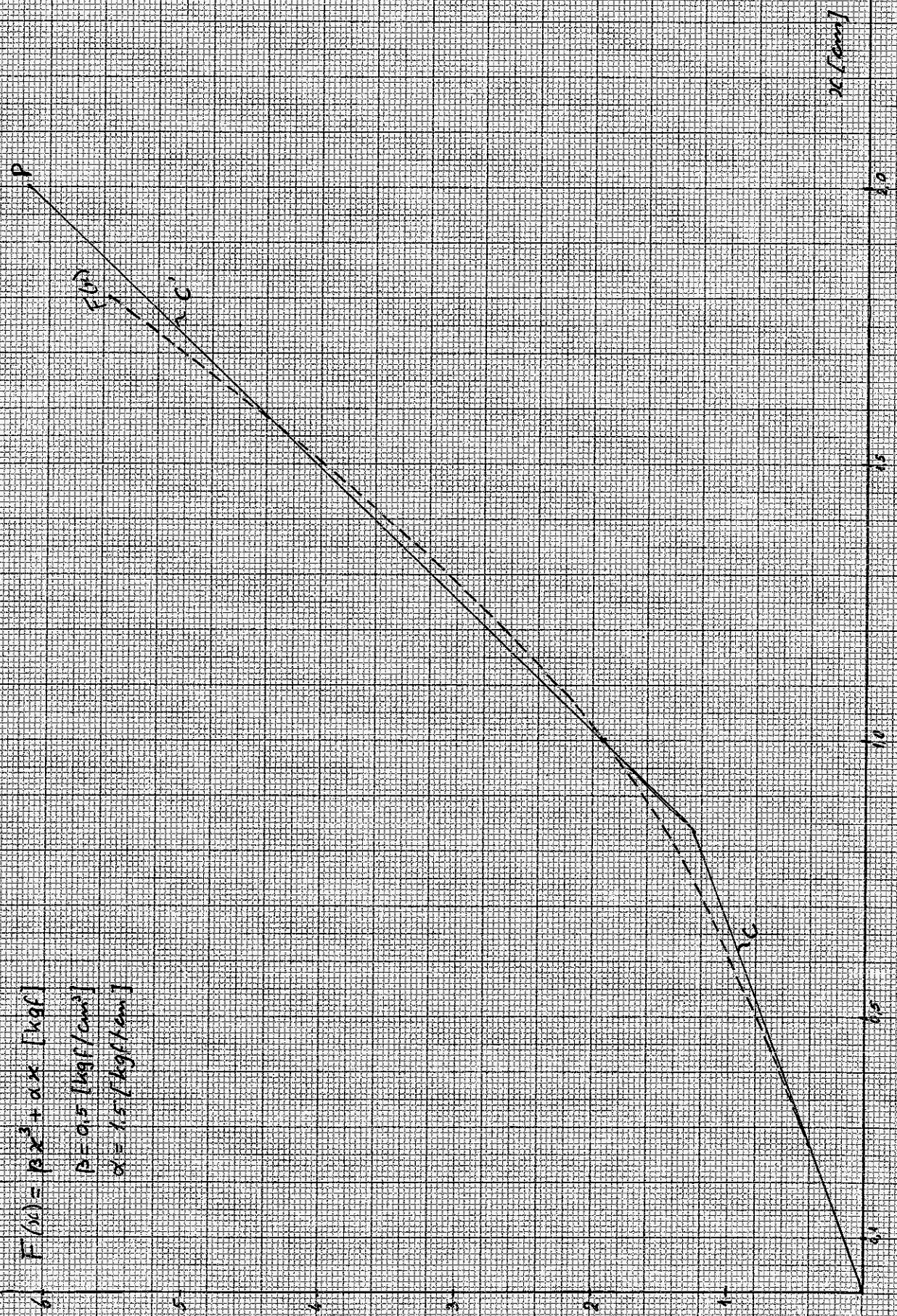
$$f(x) = 1,5x + 0,5x^3 \quad (334)$$

Zie hiervoor grafiek: I

GRAFIEKI

VEERKARAKTERISTIEK

$$F(x) = \beta x^3 + \alpha x \quad [\text{kgf}]$$
$$\beta = 0.5 \quad [\text{kgf/cm}^3]$$
$$\alpha = 1.5 \quad [\text{kgf/cm}]$$



3.4 Resonantie kromme.

We meten de uitwijkingen met een piezo-elektrische versnellingsmeter. (set 4329).

We registreren met een buisvoltmeter. Het versnellingsmeterje wordt op de massa bevestigd. De massa van deze meter is bij de m in rekening gebracht.

We brengen de volgende waarnemingen:

n	a
Hz	cm
10,5	0,021
15	0,054
17,3	0,106
18	0,170
19,2	0,610
20,1	0,814
20,7	0,966
21,5	1,125
23,9	1,500
24,3	1,710
25	Sprong

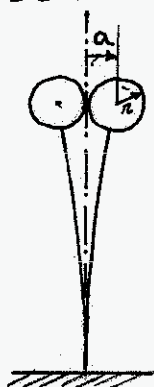
n	a
Hz	cm
26	0,017
24	0,025
22	0,040
20,2	0,111
20	0,158
19,8	0,303
19,7	0,477
19,7	Sprong
19,6	0,694

a = amplitude van de trilling

n = toerental van de tafel.

De metingen zijn verricht bij een y_0 van de tafel van: $y_0 = 0,02$ cm.

De waarnemingen zijn in grafiek III uitgeset. De sprongen, vooral die bij 25 Hz, waren mooi te zien.



We hebben nog een extra controle op de zijking uitgevoerd door te meten bij welke toerental de doorsnede van de bolvormige massa in de twee uiterste standen juist nul was. De amplitude is dan gelijk aan de straal van de massa, d.i.: 1,5 cm. Dit gebeurde bij $n = 23$ cm. Dit punt is in grafiek III aangegeven door \odot .

3.5 Bepaling van de demping.

We registreren de uitwijking van de massa m.b.v. een luisvoltmeter.

Voor een vrije gedempte trilling geldt:

$$x = e^{-\frac{\rho}{2}t} \left[A \cos\left(\sqrt{\alpha - \frac{\rho^2}{4}} \cdot t\right) + B \sin\left(\sqrt{\alpha - \frac{\rho^2}{4}} \cdot t\right) \right] \quad (351)$$

$$\therefore \omega = \sqrt{\alpha - \frac{\rho^2}{4}}$$

voor kleine ρ wordt dit:

$$\omega = \sqrt{\alpha}$$

en de trillingstijd:

$$T = \frac{2\pi}{\omega} = \frac{1}{n_0} = \frac{1}{19} \quad (352)$$

Als x_n de amplitude op het tijdstip t is en x_{n+m} de amplitude m perioden later dan geldt:

$$\frac{x_n}{x_{n+m}} = \frac{C \cdot e^{-\frac{\rho}{2}t}}{C \cdot e^{-\frac{\rho}{2}(t+mT)}} = e^{+\frac{\rho}{2}mT}$$

$$\therefore \frac{x_n}{x_{n+m}} = e^{\left(\frac{m\rho}{2n_0}\right)} \quad (353)$$

We meten nu als volgt:

Geef de massa een bepaalde uitslag. Druk dan een stopwatch in op het ogenblik dat de voltmeter een bepaalde uitslag heeft.

Wacht dan tot de uitslag op de voltmeter is afgenomen tot een andere waarde en stop dan de stopwatch. De tijd gemeten met de stopwatch en de verhouding van de twee uitslagen op de voltmeter is dan een maat voor de demping.

We noemen de waarden op de voltmeter: a_n en a_{n+m} . Deze waarden zijn evenredig met de uitslag van de massa, en dus is:

$$\frac{a_n}{a_{n+m}} = \frac{x_n}{x_{n+m}}$$

We hebben de meting eerst tien keer gedaan voor dezelfde a_n en a_{n+m} , om hieruit de standaarddeviatie en de fout te bepalen. We zullen zien dat deze fout klein is. Daarna hebben we nog enige metingen verricht voor andere a 's om te kijken of de p onafhankelijk van de amplitude was.

$a_n = 70 \text{ mV}$ en $a_{n+m} = 5 \text{ mV}$

nr	t sec.	$\bar{t} - t$ 10^{-1}	$(\bar{t} - t)^2$ 10^{-2}
1	4,9	-1,1	1,21
2	4,75	0,4	0,16
3	4,7	0,9	0,81
4	4,7	0,9	0,81
5	4,7	0,9	0,81
6	4,7	0,9	0,81
7	4,9	-1,1	1,21
8	4,7	0,9	0,81
9	4,9	-1,1	1,21
10	4,9	-1,1	1,21
	$\bar{t} = 4,79$		$\Sigma = 9,05$

$$\sigma = \sqrt{\frac{\Sigma (\bar{t} - t)^2}{n-1}} = \frac{1}{\sqrt{10}} \sqrt{\frac{9,05}{9}} = 0,1$$

Dus de fout in de enkele waarneming is: $\pm 2\sigma = \pm 0,2 \text{ sec}$

De fout in het gemiddelde is:

$$\pm \frac{2\sigma}{\sqrt{n}} = \pm \frac{0,2}{\sqrt{10}} = 0,063 \text{ sec.}$$

$$t = 4,8 \text{ sec} \rightarrow m = 4,8 \times 19 = 91,2$$

$$\frac{a_n}{a_{n+m}} = \frac{x_n}{x_{n+m}} = 14 = e^{2,64}$$

met (353) vinden we: $\frac{mP}{2n_0} = 2,64$

$$P = \frac{2,64 \times 2 \times 19}{91,2} = 1,09 \left[\frac{1}{\text{sec}} \right]$$

Dit is de P per massa-eenheid. Bij een massa van: $0,105 \times 10^{-3} \text{ [kgf sec}^2/\text{cm]}$ vinden we dus voor de damping in ons systeem:

$$P = 1,09 \times 0,105 \times 10^{-3} = 1,15 \times 10^{-4} \text{ [kgf sec/cm]}$$

Voor andere a 's:

$$a_n = 50 \text{ mV}; a_{n+m} = 5 \text{ mV} : t = 4,15 \text{ sec} \Rightarrow P = 0,117 \times 10^{-3} \text{ [kgf sec/cm]}$$

$$a_n = 90 \text{ mV}; a_{n+m} = 10 \text{ mV} : t = 4,2 \text{ sec} \Rightarrow P = 0,115 \times 10^{-3} \text{ " }]$$

De p is dus in het door mij onderrochte gebied constant.

Bovenstaande dempingmetingen zijn verricht aan het lineaire systeem.

Ik heb ook nog een meting verricht aan het niet-lineaire systeem. Dit gaf als resultaat:

$$a_n = 90 \text{ mV} ; a_{n+m} = 10 \text{ mV} \Rightarrow t = 3,6 \text{ sec.}$$

We zien dat de tijd hier kleiner is dan bij de vorige metingen. Dit is gemakkelijk te verklaren. Bij de niet-lineaire trillingen blijft de frequentie namelijk niet constant. Deze neemt toe met groter wordende amplitude, en dus neemt de trillingstijd af. En dit heeft weer tot gevolg dat de amplitude van de vrije trilling sneller daalt.

We kunnen uit de resonantiecurve ook de demping bepalen. We weten dat de top van de curve ligt op de hyperbool:

$$a p \omega = F = \alpha y_0$$

$$\therefore p = \frac{\alpha y_0}{a \omega} = \frac{\alpha y_0}{2\pi a n}$$

De top breekt op bij: $n = 25 \text{ Hz.}$

$$a = 1,725 \text{ cm.}$$

Als we i.v.m. α nemen de $c = 1,5 \text{ [kgf/cm]}$ dan we direct de p van het hele systeem, dus niet per massa-eenheid.

We vinden voor de p : als $y_0 = 0,02 \text{ cm}$

$$p = \frac{1,5 \times 0,02}{2 \cdot \pi \times 1,725 \times 25} = 0,111 \text{ [kgfsec/cm]} \times 10^{-3}$$

Dit komt goed overeen met de berekende p .

3.6. Berekening van de ruggegraat.

We kennen voor de ruggegraat ($F=0$) de volgende formule (zie o.a. Duffing):

$$\omega^2 = \alpha + \frac{3}{4} \beta A^2$$

welke we met: $\alpha = \omega_0^2$, kunnen schrijven als:

$$\left(\frac{\omega}{\omega_0}\right)^2 = \left(\frac{n}{n_0}\right)^2 = 1 + \frac{3}{4} \frac{\beta}{\alpha} A^2$$

$$\frac{\beta}{\alpha} = \frac{0,5}{1,5} = \frac{1}{3} \text{ en } n_0 = 19 \text{ Hz} :$$

$$n^2 = 361 \left(1 + \frac{1}{4} A^2\right) \quad (361)$$

We bepalen dus de n bij verschillende A :

A	n
cm	Hz
0,00	19
0,50	19,6
0,75	20,3
1,00	21,2
1,25	22,4
1,50	23,8
1,75	25,2
2,00	26,8

We hebben deze ~~resonantie~~ ruggegraat-kromme getekend in de gemeten resonantie-kromme.

De overeenstemming tussen beiden is goed.

We hebben de ruggegraat voor de punten $A=0,1,2$ berekend volgens Rauscher. We bepalen eerst $h(\xi)$:

ξ	$1-\xi^2$	$1-\xi^4$	$h(\xi)$	$h(\xi)$	$h(\xi)$
			$f=0; \beta=0$	$A=1\text{cm}; \gamma=\frac{1}{3}$	$A=2\text{cm}; \gamma=\frac{4}{3}$
0,0	1,00	1,000	1,00	0,926	0,775
0,2	0,96	0,998	1,02	0,942	0,785
0,4	0,84	0,974	1,09	1,000	0,820
0,6	0,64	0,877	1,25	1,130	0,903
0,8	0,36	0,590	1,67	1,480	1,095
0,9	0,19	0,342	2,29	2,010	1,510
0,94	0,116	0,220	2,94	2,550	1,950
0,98	0,04	0,092	5,00	4,250	3,140

We vinden voor de soerenallen:

$$A=0 \text{ of } \beta=0 : n = 19 \text{ Hz}$$

$$A=1 \text{ cm} : n = 21,1 \text{ Hz}$$

$$A=2 \text{ cm} : n = 26,4 \text{ Hz}$$

Dit hiervoor grafisch: II

METHODE RAUSCHER

GRAFIEK II

$\delta_1 = 0 \cdot A \text{ of } \beta = 0$
 $\delta_1 = \frac{1}{3} \cdot A = 1 \text{ cm}$
 $\delta_2 = \frac{4}{3} \cdot A = 2 \text{ cm}$

$$\frac{1}{\lambda} = \frac{2}{\lambda} \times l \times 0 \Rightarrow n = \frac{n_0 \times \pi}{2 \times l \times 0}$$

C = correctiefactor = $0.2 \times \frac{2}{3} = 0.133$

O = oppervlak [cm²]

$\delta_1 : O = 118 \text{ cm}^2 \Rightarrow n = 19 \text{ Hz}$

$\delta_2 : O = 106 \text{ cm}^2 \Rightarrow n = 21.1 \text{ Hz}$

$\delta_3 : O = 85 \text{ cm}^2 \Rightarrow n = 26.4 \text{ Hz}$

$\lambda(\delta)$

5

4

3

2

1.0

0.1

0

0.1

0.2

0.3

0.4

0.5

0.6

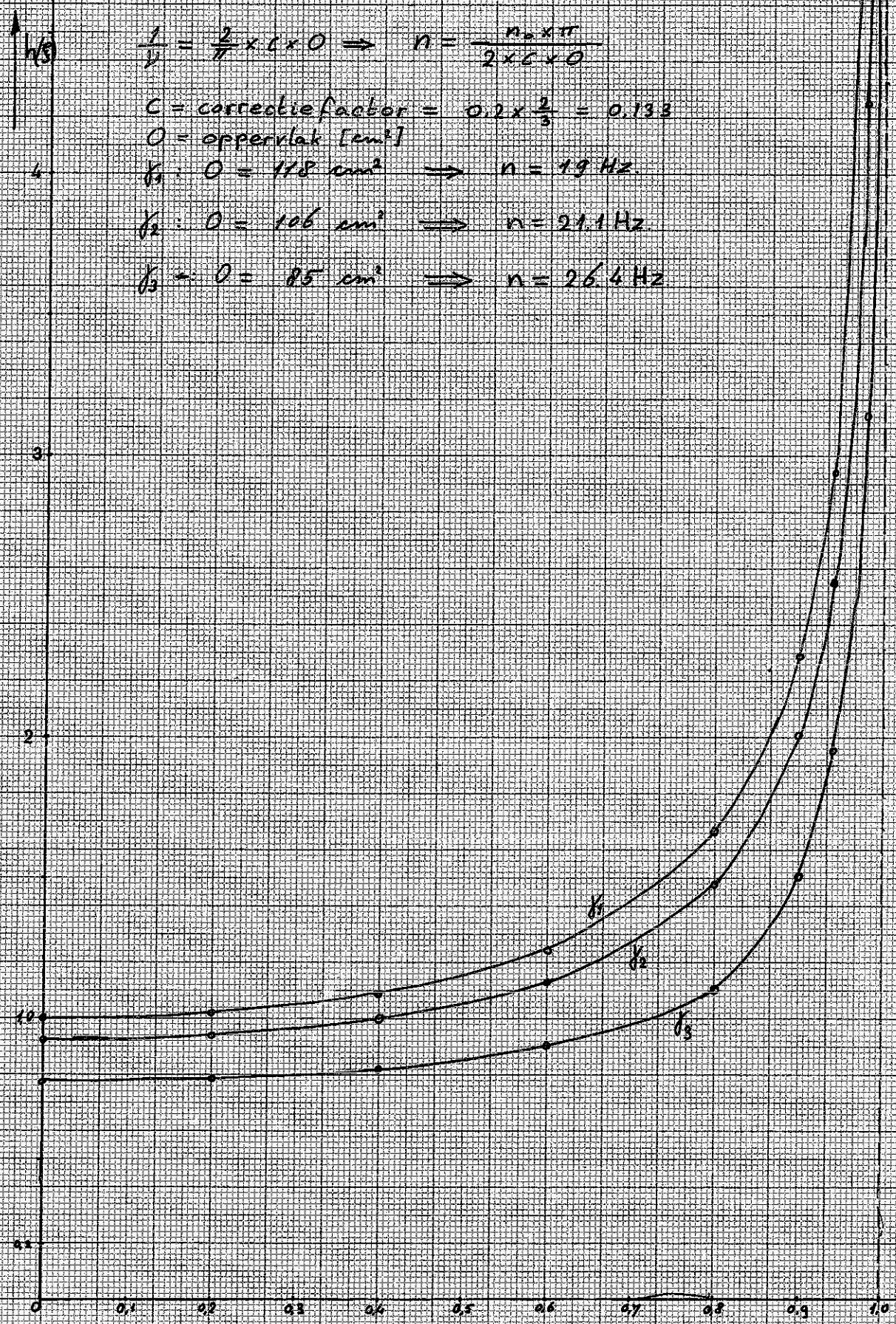
0.7

0.8

0.9

1.0

5



3.7. Berekening van de flanken

Omdat $p \ll d$ verwaarlozen we voor deze berekening de demping. We gebruiken de methode Schweissinger:

$$\left(\frac{n}{n_0}\right)^2 = \frac{\eta + \frac{3}{4}\eta^3 \delta}{\eta - 1}$$

$$\text{met: } \eta = 1 - \frac{\bar{x}}{y_0} = 1 - \frac{\bar{x}}{0,02} = 1 - 50\bar{x}$$

$$\text{en } \delta = \frac{\beta y_0^2}{\alpha} = \frac{0,5 \times (0,02)^2}{1,5} = 0,133 \times 10^{-3}$$

$$n_0 = 19 \text{ Hz}$$

$$\therefore n = n_0 \sqrt{\frac{\eta + \frac{3}{4}\eta^3 \delta}{\eta - 1}} = 19 \sqrt{\frac{\eta + 0,1 \times 10^{-3} \eta^3}{\eta - 1}}$$

\bar{x}	η	n
cm		Hz
+ 0,02	0	0,0
+ 0,1	-4	17,0
+ 0,2	-9	18,1
+ 0,5	-24	19,1
+ 1,0	-49	20,9
+ 1,6	-74	24,0

\bar{x}	η	n
cm		Hz
-1,4	+ 71	23,5
-1,0	+ 51	21,7
-0,5	+ 26	20,0
-0,3	+ 16	19,8
-0,1	+ 6	20,8
-0,02	+ 2	26,9

Deze punten zijn in grafiek: aangegeven door: Δ . Ze komen goed overeen met de gemeten waarden.

Het gebied $\bar{x} < -0,5$ cm is instabiel

RESONANTIEKROMME HARDE VEER

GRAFIEK III

$$y_0 = 0,02 \text{ [cm]}$$

$$a p \omega = F$$

$$P = 0,11 \times 10^{-2} \text{ [kgf sec/cm]}$$

o: gemeten
Δ: berekend

